

TF790-3, Fig. C1We: Élément A: étoile de Siemens N-W, W-N, N-Z et W-Z; PS opérateur : *rgb/cmy0*

$L^*/Y_{\text{entrée}}$ (absolu)	18.0/2.5	37.3/9.7	56.7/24.6	76.1/49.9	95.4/88.6	$N_0$ (min.)	$W_1$ (max.)
$w^*-l^*_{\text{CIELAB}, r}$ (relative)							
$w^*_{\text{entrée}}$	0,000	0,250	0,500	0,750	1,000	$N_0$ (min.)	$W_1$ (max.)

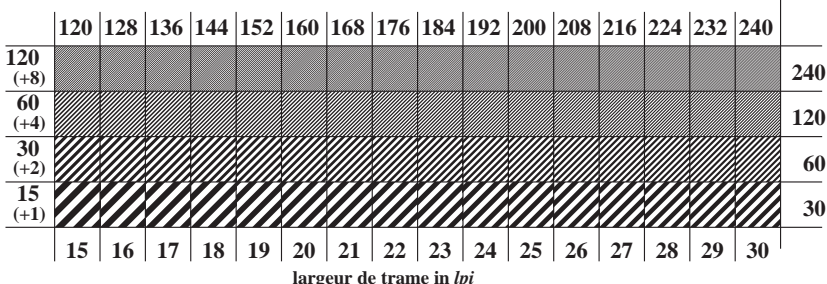
TF790-5, Fig. C2We: Élément B: 5 paliers de gris  $L^*$  équidistante +  $N_0$  +  $W_1$ ; PS opérateur : *rgb/cmy0*

$L^*/Y_{\text{entrée}}$ (absolu)	18.0/2.5	23.2/3.8	28.3/5.6	33.5/7.8	38.6/10.5	43.8/13.7	49.0/17.6	54.1/22.1	59.3/27.3	64.4/33.3	69.6/40.2	74.8/47.9	79.9/56.5	85.1/66.2	90.2/76.8	95.4/88.6
No et code Hex	00;F	01;E	02;D	03;C	04;B	05;A	06;9	07;8	08;7	09;6	10;5	11;4	12;3	13;2	14;1	15;0
$w^*-l^*_{\text{CIELAB}, r}$ (relative)	0,000	0,067	0,133	0,200	0,267	0,333	0,400	0,467	0,533	0,600	0,667	0,733	0,800	0,867	0,933	1,000

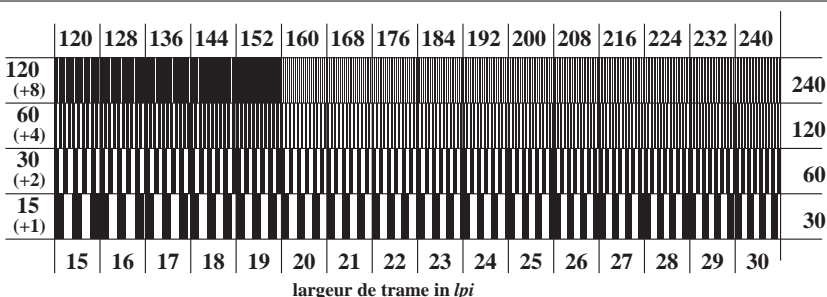
TF790-7, Fig. C3We: Élément C: 16 paliers de gris  $L^*$  équidistante; PS opérateur : *rgb/cmy0*

<i>échelonnement du 0</i> <i>font code hex</i>		1    échelonnement 0-1 anneau de Landolt
7		8    7-8
E		F    E-F
2		0    2-0
8		6    8-6
F		D    F-D

TF791-1, Fig. C4We: Élément D: anneaux Landolt W-N; PS opérateur : *rgb/cmy0*



TF791-3, Fig. C5We: Élément E: trame linéaire à 45° (ou 135°); PS opérateur : *rgb/cmy0*



TF791-5, Fig. C6We: Élément F: trame linéaire à 90° (ou 0°); PS opérateur : *rgb/cmy0*

